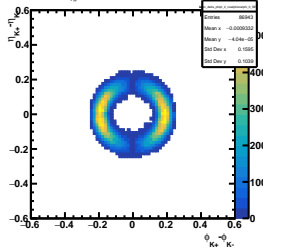
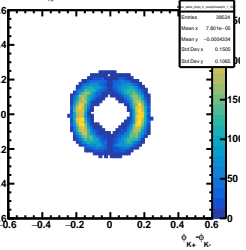


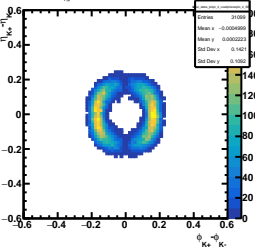
SE 2.4< $p_{T,\phi}$ <3.0, -1.0<cos(2 $\phi$ \*2 $\phi\text{hi}$ )<0.8, 20-60 Cent



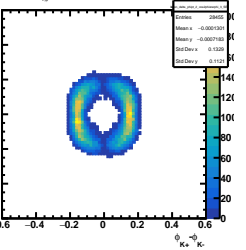
SE 2.4< $p_{T,\phi}$ <3.0, -0.8<cos(2 $\phi$ \*2 $\phi\text{hi}$ )<-0.6, 20-60 Cent



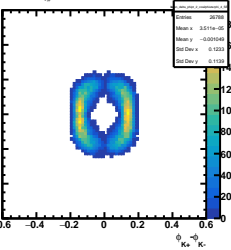
SE 2.4< $p_{T,\phi}$ <3.0, -0.6<cos(2 $\phi$ \*2 $\phi\text{hi}$ )<-0.4, 20-60 Cent



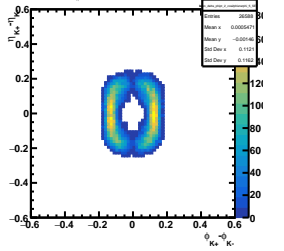
SE 2.4< $p_{T,\phi}$ <3.0, -0.4<cos(2 $\phi$ \*2 $\phi\text{hi}$ )<-0.2, 20-60 Cent



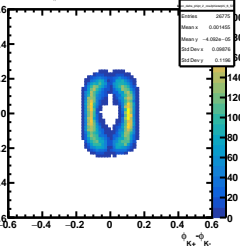
SE 2.4< $p_{T,\phi}$ <3.0, -0.2<cos(2 $\phi$ \*2 $\phi\text{hi}$ )<0.0, 20-60 Cent



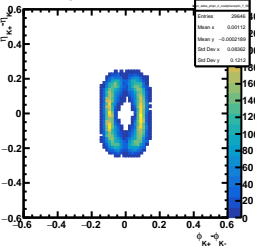
SE 2.4< $p_{T,\phi}$ <3.0, 0.0<cos(2 $\phi$ \*2 $\phi\text{hi}$ )<0.2, 20-60 Cent



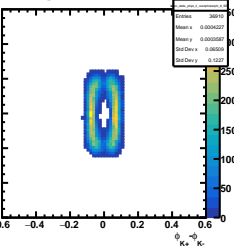
SE 2.4< $p_{T,\phi}$ <3.0, 0.2<cos(2 $\phi$ \*2 $\phi\text{hi}$ )<0.4, 20-60 Cent



SE 2.4< $p_{T,\phi}$ <3.0, 0.4<cos(2 $\phi$ \*2 $\phi\text{hi}$ )<0.6, 20-60 Cent



SE 2.4< $p_{T,\phi}$ <3.0, 0.6<cos(2 $\phi$ \*2 $\phi\text{hi}$ )<0.8, 20-60 Cent



SE 2.4< $p_{T,\phi}$ <3.0, 0.8<cos(2 $\phi$ \*2 $\phi\text{hi}$ )<1.0, 20-60 Cent

